

ORIGINAL ARTICLE

Preparation of chitosan nanoparticles carrying recombinant helicobacter pylori neutrophil-activating protein

Neda Soleimani¹,
Ashraf Mohabati-Mobarez²,
Fatemeh Atyabi³,
Zohair Hasan-Sara⁴,
Mohammad-Ali Haghghi⁵

¹ PhD Student, Department of Bacteriology, School of Medical Sciences, Tarbiat Modares University, Tehran, Iran

² Associate Professor, Department of Bacteriology, School of Medical Sciences, Tarbiat Modares University, Tehran, Iran

³ Professor, Nanotechnology Research Centre, Department of Pharmaceutics, School of Pharmacology, Tehran University of Medical Sciences, Tehran, Iran

⁴ Professor, Department of Immunology, School of Medical Sciences, Tarbiat Modares University, Tehran, Iran

⁵ Assistant Professor, Department of Microbiology and Parasitology, School of Medicine, Bushehr University of Medical Sciences, Bushehr, Iran

(Received July 1, 2013; Accepted March 19, 2014)

Abstract

Background and purpose: Breast cancer is one of the leading causes of death in women around the world with a very high degree of mortality and morbidity. Conventional treatments use cytotoxic drugs which have high levels of side effects, affecting the patient's quality of life. Therefore today's pharmacology is looking into treatments with low side effects and maximum efficiency. The helicobacter pylori neutrophil-activating protein (HP-NAP) is a virulence factor that attracts and activates neutrophils, and promotes their endothelial adhesion and the production of oxygen radicals and chemokines. HP-NAP is an immune modulator able to induce the expression of IL-12 and IL-23. Chitosan is biodegradable and biocompatible component. It is low toxicity effect, so apply in drug delivery targets. In this study, we evaluated the preparation of chitosan nanoparticles carrying recombinant HP-NAP helicobacter pylori.

Materials and methods: Chitosan nanoparticles were produced. The size and morphology of the nanoparticles were investigated. Recombinant HP-NAP helicobacter pylori were produced.

Results: SDS-PAGE analysis showed the expression of an approximately 20,000 Dalton protein. DLS confirm size and zeta potential of the nanoparticle.

Conclusion: The complex has the potential to shift antigen-specific T-cell responses from a predominant Th2 to a polarized Th1 cytotoxic phenotype, characterized by high levels of interferon- γ and tumor necrosis factor-a production. HP-NAP may be a new tool for future therapeutic strategies aimed in cancer immunotherapy. Nanomaterials have been used to enable drug delivery with lower toxicity to healthy cells and enhanced drug delivery to tumor cells.

Keywords: Cancer, recombinant helicobacter pylori neutrophil-activating protein (HP-NAP), chitosan

J Mazand Univ Med Sci 2014; 23(Suppl 2): 134-44 (Persian).

آماده‌سازی نانوذرات تری‌متیل کیتوزان حامل پروتئین فعال کننده نوتروفیل نوترکیب از هلیکوباتر پیلوئی

ندا سلیمانی^۱

ashraf.mohabti.mbarzi^۲

فاطمه اطیابی^۳

زهیر حسن صراف^۴

محمدعلی حقیقی^۵

چکیده

سابقه و هدف: سرطان از علل عمدۀ مرگ و میر در سراسر جهان می‌باشد. درمان‌های دارویی متعارف با استفاده از داروهای سیتوتوکسیک دارای سطح بالایی از عوارض جانبی برای بیمار است. بنابراین امروزه محققین به دنبال درمان جایگزین با اثرات جانبی کم و حداقل‌بهره‌وری می‌باشند. پروتئین فعال کننده نوتروفیل (HP-NAP) یا Helicobacter pylori neutrophil activating protein یکی از پروتئین‌های ویرولانس هلیکوباتر پیلوئی است. این پروتئین نوتروفیل‌ها را به سمت خود می‌کشاند، سبب تولید رادیکال‌های اکسیژن و سیتوکین‌ها می‌گردد، دارای خاصیت ایمونومدولاتوری می‌باشد و سبب القای بیان IL12 و IL23 از مونوسیت‌ها و نوتروفیل‌های انسانی می‌شود. کیتوزان یک ترکیب زیست ساز‌گار و زیست تخریب‌پذیر می‌باشد؛ بنابراین با توجه به حداقل مسمومیت سیستمیک برای تحويل پیتید یا دارو، در برنامه‌های کاربردی مطرح است. هدف از این مطالعه، ساخت و تولید نانوذرات کیتوزان حامل پروتئین نوترکیب HP-NAP هلیکوباتر پیلوئی به عنوان داوطلب درمانی بود.

مواد و روش‌ها: نانوذرات کیتوزان سنتر شد، پروتئین HP-NAP نوترکیب بیان و تخلیص گردید و نانوذرات کیتوزان حامل پروتئین HP-NAP نوترکیب تهیه شد.

یافته‌ها: پروتئین تولید شده با وزن مولکولی ۲۰۰۰۰ دالتون با تکنیک SDS-page (Sodium dodecyl sulfate polyacrylamide gel electrophoresis) تأیید شد. باز الکتریکی و اندازه نانوذرات با دستگاه DLS (Dynamic light scattering) و میکروسکوپ الکترونی تعیین و تأیید گردید.

استنتاج: پروتئین نوتروفیل HP-NAP با داشتن پتانسیل تغییر پاسخ‌های سیستم ایمنی، سبب تغییر فتوتیپ از Th1 به فتوتیپ Th2 به واسطه تولید ایترفرون گاما و عامل نکروز دهنده توموری آلفا می‌شود؛ بنابراین نانوذرات کیتوزان حامل پروتئین نوترکیب HP-NAP ممکن است ابزار مناسب و مؤثری جهت درمان سرطان در آینده باشد.

واژه‌های کلیدی: سرطان، HP-NAP نوترکیب، تری‌متیل کیتوزان

مقدمه

حال توسعه می‌باشد. به طور تقریبی ۷۷ درصد از تمام بیماری‌های

سرطان سینه شایع‌ترین بیماری بدخیم در میان زنان و یکی از

بدخیم سینه در زنانی رخ می‌دهد که بیش از ۵۰ سال سن دارند.

عوامل مهم مرگ و میر در کشورهای توسعه یافته و کشورهای در

۱۵ درصد از موارد در زنان با سن کمتر از ۵۰ سال و تنها

E-mail: mmmobarez@modares.ac.ir

مولف مسئول: اشرف محبتی مبارز - تهران: دانشگاه تربیت مدرس، دانشکده پزشکی، گروه باکتری‌شناسی پزشکی.

۱. داشجویی دکتری، گروه باکتری‌شناسی پزشکی، دانشکده پزشکی، دانشگاه تربیت مدرس، تهران، ایران

۲. دانشیار، گروه باکتری‌شناسی پزشکی، دانشکده پزشکی، دانشگاه تربیت مدرس، تهران، ایران

۳. استاد، مرکز تحقیقات نانوتکنولوژی، گروه فارماکوسیوتکس، دانشکده داروسازی، دانشگاه علوم پزشکی تهران، تهران، ایران

۴. استاد، گروه ایمنی‌شناسی پزشکی، دانشکده پزشکی، دانشگاه تربیت مدرس، تهران، ایران

۵. استادیار، گروه میکروب‌شناسی و انگل‌شناسی، دانشکده پزشکی، دانشگاه علوم پزشکی بوشهر، بوشهر، ایران

تاریخ دریافت: ۱۳۹۲/۰۴/۱۰ تاریخ ارجاع جهت اصلاحات: ۱۳۹۲/۱۰/۰۵ تاریخ تصویب: ۱۳۹۲/۱۲/۲۸

سخت پوستان وجود دارد. اطلاعات به دست آمده از خصوصیات فیزیکی و شیمیایی کیتوزان باعث شده است که این پلیمر به عنوان ماده‌ای برای رهاسازی دارو و به ویژه برای رهاسازی ماکرومولکول‌ها پیشنهاد شود. از نظر تکنیکی، خصوصیت حل شدن در آب و بار مثبت کیتوزان بسیار مهم است (۱۲). این خصوصیات باعث می‌شود که این پلیمر با ماکرومولکول‌های بار منفی در محیط آبی و یا با سطوح باردار میکروارگانیسم‌ها برخورد کند؛ بنابراین از این نیروهای برخوردي در این اهداف سود برد شده است. سوسپانسیون‌ها و ذرات کیتوزانی قابلیت تحریک سیستم ایمنی مانند کموتاكسی و فعال‌سازی ماکروفائزها را دارند و نیز باعث ترشح سیتوکین‌هایی مانند IL₁, IL₂, TNF- α و IL₁₀ می‌شوند. این پلیمر پاسخ آنتی‌بادی را افزایش می‌دهد و سلول‌های T سیتو توکسیک و نیز سلول‌های کشته طبیعی را فعال می‌کند. کیتوزان سمتی بسیار پایینی دارد (۱۱). این پلیمر یک ترکیب زیست سازگار و زیست تخریب پذیر می‌باشد (۱۳).

با توجه به حداقل مسمومیت سیستمیک برای تحویل پیتید یا دارو، در برنامه‌های کاربردی مطرح می‌باشد. این نانوذرات قادر هستند ضمن افزایش میزان پاسخ سیستم ایمنی، در جهت دهی و هدایت این سیستم به سمت ایجاد نوع خاصی از پاسخ نیز مؤثر باشند. با به کار بردن این نانوذرات به عنوان حامل، مقدار استفاده از پروتئین نوترکیب مورد هدف کاهش می‌یابد و از اثرات مخرب پروتئازها بر آن نیز کاسته می‌شود. این استراتژی باعث ارتقای کارایی پروتئین موردنظر در القای پاسخ‌های ایمنی بر ضد تومور می‌گردد که در پیشبرد اهداف کاربردی از جمله پروتئین و پیتیدرانی مؤثر، حایز اهمیت می‌باشد (۱۴، ۱۵).

بنابراین هدف از این مطالعه، ساخت و تولید نانوذرات تری‌متیل کیتوزان حامل پروتئین نوترکیب HP-NAP هلیکوبکتر پیلوری و ارزیابی ویژگی‌های آن بود.

مواد و روش‌ها

۱- الگا و بیان پروتئین نوترکیب NAP-A

توالی ژن NAP-A توسط شرکت GenScript آمریکا

۶/۵ درصد از تمام موارد در زنان کمتر از ۴۰ سال دیده می‌شود (۱). در ایران بر اساس آمارهای موجود در دانشگاه علوم پزشکی و خدمات بهداشتی و درمانی تهران (انستیتو کانسر)، پیش‌بینی می‌شود که ۱۰-۲۰ درصد از کل جمعیت ایران سرطان را در طول زندگی خود تجربه کنند. شایع ترین سرطان در میان زنان ایرانی، سرطان سینه است که ۲۲ درصد از کل سرطان‌های زنان را شامل می‌شود. با وجود روش‌های درمانی مختلف، هنوز هم جراحی به عنوان اولین روش درمانی برای سرطان سینه محسوب می‌شود (۲-۸). درمان‌های رایج سرطان ممکن است اندازه تومور را کاهش دهد، اما گذرا است و بر بقای بیمار اثر مثبتی ندارد و احتمال عود بیماری هم وجود دارد (۹).

با توجه به ماهیت تهاجمی سرطان و همین طور مکانیسم‌های پیچیده دخیل در پیشرفت آن، درمان‌های سنتی مانند جراحی، شیمی درمانی و رادیو درمانی در بسیاری از موارد ناکارامد می‌باشد. عوارض جانبی بالا، اختصاصیت پایین و احتمال بروز مجدد بیماری از محدودیت‌های روش‌های فوق هستند؛ بنابراین نیاز به جایگزینی درمان‌های مؤثرتر، اختصاصی تر و دارای عوارض جانبی کمتر بسیار احساس می‌شود. از این‌رو استفاده از محصولات باکتریایی شامل پروتئین‌ها و توکسین‌های باکتریایی به عنوان ایمونومدولاتور و ایمنوتوكسین در درمان سرطان‌ها مورد توجه واقع شده است. پروتئین فعال کننده نوتروفیلی (HP-NAP) یا (Helicobacter pylori neutrophil activating protein) یکی از پروتئین‌های مهم هلیکوبکتر پیلوری است. حین رشد باکتری، مولکول‌های HP-NAP از باکتری رها می‌شوند و مقداری از آن در سطح غشای خارجی به شکل متصل باقی می‌مانند. HP-NAP متصل به سلول می‌تواند واسطه اتصال باکتری به کربوهیدرات‌های سطح سلول میزبان باشد (۱۰، ۱۱). این پروتئین به عنوان یک ایمونومدولاتور مطرح می‌باشد. پروتئین‌ها نسبت به پروتئازها و سایر مواد بسیار حساس هستند؛ بنابراین نیازمند حفاظت می‌باشند. از بین ترکیبات محافظت با توجه به ویژگی‌های آن، کیتوزان مطرح می‌باشد. کیتوزان پلی‌ساکاریدی است که به مقدار زیاد در پوسته

شستشوی ستون با بافر B تا زمانی که جذب نوری ۲۸۰ نانومتری خروجی ستون به صفر برسد، ادامه یافت. سپس بافر شستشوی دوم به ستون اضافه شد و تمام خروجی در یک ظرف مجزا نگهداری شد. در نهایت بافر شستشوی سوم اضافه شد و خروجی ستون نیز به طور جداگانه جمع آوری گردید. پس از جمع آوری جزء پروتئینی، تحلیل الکتروفوروز SDS-page به منظور بررسی خلوص آنها انجام شد. به منظور حذف ایمیدازول از محلول پروتئینی از روش دیالیز تعویض بافر در حضور بافر PBS (Phosphate buffered saline) استفاده شد (۱۷، ۱۸).

Western blot -۴

پروتئین نوترکیب از ژل SDS-page به کاغذ پلی وینیلیدین دی فلوراید (Polyvinelidene fluoride) یا PVDF توسط دستگاه بلاط Bio-Rad در شرایط مرطوب منتقل شد. برای کنترل انتقال پروتئین، از مارکر پروتئینی از پیش رنگ شده استفاده گردید (Pre-stain ladder SM.۰۶۰۷). TBS مسدودسازی (Blocking) غشای PVDF با محلول TBS (Tris buffered saline) (۵۰ میلی مolar Tris و ۱۵۰ میلی مolar NaCl) حاوی ۵ درصد شیر خشک (Fat free milk) به مدت ۳ ساعت انجام گرفت. در مرحله بعد غشا با آتنی بادی مونوکلونال موشی بر علیه His-tag (Roche) در بافر TBS-T با رقت ۱:۱۰۰۰ به مدت ۳ ساعت در دمای اتاق مجاور شد. شستشو با بافر TBS-T (TBS) حاوی ۰/۰۵ درصد توئین (۲۰) انجام شد. پس از شستشوی نهایی، غشا با محلول ۰/۰۶ درصد DAB (Diaminobenzidine) (۵۰ میلی مolar Tris به همراه یک دهم درصد آب اکسیژنه) قرار گرفت و پس از ظهور باند واکنش با آب مقطر متوقف شد و از آن عکس تهیه گردید (۱۶-۱۸).

۵- تهیه تری متیل کیتوزان

کیتوزان از شرکت سیگما با وزن مولکولی پایین ۱۰۰-۲۰۰ کیلو دالتون (Low molecular weight) تهیه شد. کیتوزان با وزن مولکولی پایین در محیط پایه متیل پیرولیدون

ساخته شد. ژن کلون شده در وکتور pet28a انتقال داده شد. به منظور بیان پروتئین نوترکیب NAP-A، از میزبان بیانی E.coli BL21 استفاده شد. جهت انجام القا از کشت شبانه باکتری در حضور ۵۰ میکرو گرم بر میلی لیتر کانامایسین استفاده شد. القا در حجم بالا و پس از رسیدن جذب نوری محیط به حدود ۱۰/۸ (در طول موج ۵۵۰ نانومتر) انجام شد. بیان پروتئین نوترکیب با استفاده از محلول IPTG یا Isopropyl-Beta-Thio Galactopyranoside (electrophoresis) نهایی ۱/۵ میلی مولار در هر میلی لیتر و انکوباسیون در انکوباتور شیکردار در دمای ۲۰ درجه سانتی گراد و به مدت ۲۴ ساعت انجام شد (۱۶).

۲- ارزیابی پروتئین نوترکیب به روش SDS-page Sodium dodecyl sulfate polyacrylamide gel (electrophoresis)

به منظور بررسی بیان پلاسمید نوترکیب از روش الکتروفوروز SDS-page با غلاظت ۱۲/۵ درصد ژل پلی اکریل آمید و ولتاژ Pre-stain ladder SM.۰۶۰۷، در حضور مارکر پروتئین (شرکت فرمنتاز و لدر ۲۰۰ کیلو دالتون) استفاده شد. در نهایت ژل پلی اکریل آمید با رنگ کوماسی G-۲۵۰ رنگ آمیزی شده و باند موردنظر بررسی شد (۱۶).

۳- تخلیص و بیان پروتئین نوترکیب NAP-A

از آن جایی که در وکتور مورد استفاده His-tag تعییه شده بود و با توجه به پرایمر طراحی شده، می‌توان از رزین نیکل و کروماتوگرافی تمایلی جهت خالص سازی پروتئین استفاده کرد. به منظور تهیه لیز سلولی، رسوب E.coli کشت داده شده در ۱۰۰ میلی لیتر IB washing buffer سوپراناتانت شد و توسط سونیکاتور در ۱۰ سیکل ۴۰ ثانیه‌ای با سرعت ۹۰ درصد تحت شرایط ۴ درجه سانتی گراد شکسته شد. سوپراناتانت حاصل سانتریفیوژ (دمای ۴۰ درجه سانتی گراد، به مدت ۲۰ دقیقه و ۱۲۰۰ دور در دقیقه) و سوپراناتانت جمع آوری و از فیلتر ۰/۴۵ میکرون عبور داده شد. پس از عبور سوپراناتانت پروتئینی،

پراکندگی و یکنواختی نانوذرات کیتوزان از دستگاه Zetasizer (Malvern) استفاده شد و این پارامترها در نانوذراتی با $pH = 6$ تعیین شد (۲۰).

۶-۲ میکروسکوپ الکترونی TEM
 میکروسکوپ (Transmission electron microscope) انتقال الکترونی که به اختصار به آن TEM می‌گویند مشابه میکروسکوپ‌های نوری است؛ با این تفاوت که به جای پرتوی نور در آن از پرتوی الکترون استفاده می‌شود. آنچه که می‌توان با کمک میکروسکوپ نوری مشاهده کرد، بسیار محدود است؛ در حالی که با استفاده از الکترون‌ها به جای نور، این محدودیت از بین می‌رود. به منظور تعیین شکل، اندازه، پراکندگی و تأیید اندازه توسط دستگاه DLS از میکروسکوپ الکترونی استفاده شد و این پارامترها در نانوذراتی با $pH = 4$ تعیین گردید (۲۱).

۶-۳ میکروسکوپ الکترونی SEM
 میکروسکوپ (Scanning electron microscope) الکترونی روشی که به آن SEM می‌گویند. بنای عملکرد این میکروسکوپ، بر هم کنش پرتوی الکترونی با ماده است. پرتوهای ساطع شده از این بر هم کنش می‌توانند جهت بررسی‌ها مورد استفاده قرار گیرند. به منظور تعیین شکل و اندازه از میکروسکوپ الکترونی استفاده شد و این پارامترها در نانوذراتی با $pH = 4$ تعیین گردید (۲۱).

۶-۴ طیف‌سنجی Fourier transform infrared
 FTIR (FTIR spectroscopy) یا دستگاه FTIR روشی برای شناسایی ترکیبات آلی و گروه‌های عاملی آن‌ها می‌باشد که می‌توان پیوندهای کووالانسی لیگاندهای مختلف را شناسایی کرد. طیف FTIR در حالت عبور با استفاده از دستگاه FTIR اسپکتروفوتومتر (ساخت انگلستان Bruker) در گستره cm^{-1} ۴۰۰۰–۴۰۰ و در تفکیک‌پذیری ۴ سانتی‌متری تعیین گردید (۲۰).

یافته‌ها

E.coli BL21 در NAP-A و بیان پروتئین از جهت ارزیابی پروتئین ساخته شده پس از القا، ابتدا

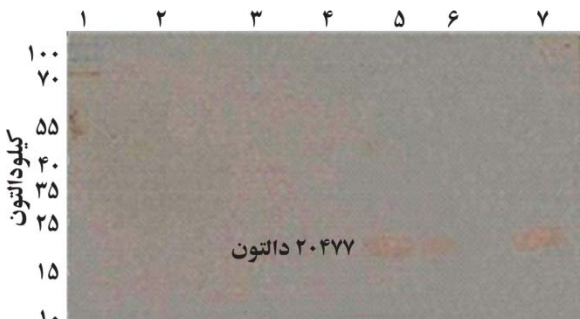
حل شد. سپس هیدروکسید سدیم، متیل یدید و سدیم یدید در دمای ۶۰ درجه سلسیوس اضافه و برای ۶ ساعت در این شرایط نگهداری شد. پلیمر با استون رسوب داده شد و با سانتریفیوژ نمودن آن رسوب جداسازی شد. برای انجام فرایند جابه‌جایی یونی I⁻ به Cl⁻، پلیمر در محلول نمکی کلریدسدیم ۰/۵ درصد وزنی-وزنی قرار گرفت. پس از آن، با استون رسوب داده شد و یک پودر سفید رنگ محلول در آب به دست آمد و در نهایت خشک گردید (۱۹).

۶-۵ تهیه نانوذرات تری‌متیل کیتوزان
 برای تولید و آماده‌سازی نانوذرات، ابتدا ۱ میلی‌گرم در میلی‌لیتر از تری‌متیل کیتوزان در محلول ۱ درصد اسید استیک حل شد. پس از تهیه پروتئین HP-NAP نوترکیب هلیکوپاکتر پیلوری و تعیین غلظت و بار الکتریکی آن، میزان ۶۰۰ میکروگرم در میلی‌لیتر از آن به بشر منتقل گردید و بر روی استیر با دور ۳۰۰ در دمای اتاق قرار گرفت. سپس تری‌پلی فسفات (TPP) یا Tripolyphosphate ۰/۱ درصد در آب مقطر حل شد و به محلول پروتئین به حجم ۳۰۰ میکروگرم در میلی‌لیتر اضافه گردید و بر روی استیر با دور ۳۰۰ دور در دقیقه در دمای اتاق قرار گرفت. سپس محلول کیتوزان به شکل قطره قطره به پروتئین حاوی تری‌پلی فسفات اضافه شد. واکنش به مدت ۱ ساعت در این شرایط ادامه یافت. جهت بررسی خصوصیات ذرات اتصال یافته مانند شکل، اندازه، پراکندگی و یکنواختی از میکروسکوپ الکترونی و دستگاه Zetasizer مجدد استفاده شد. برای خالص‌سازی ابتدا از کیسه دیالیز با کاتاف ۲۰ کیلodalton استفاده شد. نانوکمپلکس از فاز آبی که حاوی پروتئین آزاد می‌باشد با استفاده از سانتریفیوژ با سرعت ۱۸۰۰۰ دور در دقیقه به مدت ۳۰ دقیقه در ۱۵ درجه سانتی‌گراد جدا شد (۱۸، ۲۰).

۶-۶ بار الکتریکی و اندازه نانوذرات: DLS
 دستگاه Zetasizer یا Dynamic light scattering است که با استفاده از تابش نور مرئی با طول موج ۶۳۳ نانومتر به نمونه سوسپانسیون می‌تواند برخی از خواص آن را از قبیل پتانسیل زتا و وزن مولکولی و همچنین توزیع اندازه ذرات را در ابعاد نانو اندازه گیری کند. به منظور تعیین بار الکتریکی،

گردید و مشخص شد تنها مقادیر اندکی از پروتئین در فاز مایع قرار دارد. بررسی الکتروفورتیک نتایج تخلیص پروتئین نوترکیب حاکمی از خلوص قابل توجه این پروتئین بود (تصویر شماره ۱). نتایج حاصل از Western blot بیان این پروتئین را به طور اختصاصی تأیید کرد و نشان داد از درجه خلوص بالایی برخوردار است (تصویر شماره ۲).

بر اساس اندازه‌گیری با روش Bradford [به همراه استاندارد Bovine serum albumin) BSA] و اسپکتروفوتومتری، استحصال پروتئین رسوبی از یک لیتر کشت باکتری در حدود ۴۰۰ میلی گرم تعیین شد.



تصویر شماره ۲: وسترن بلاط با آنتی‌بادی ضد ساختار بلی‌هیستیدین
متصل شده به پروتئین نوترکیب HP-NAP
(*Helicobacter pylori* neutrophil activating protein)

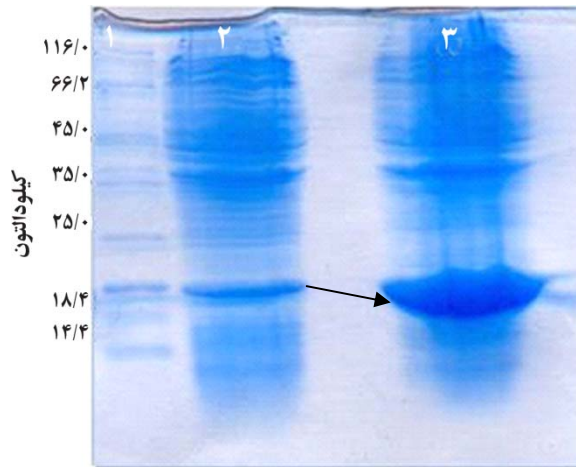
اندازه نانوذرات

اندازه، پراکندگی و یکنواختی نانوذرات کیتوزان توسط دستگاه DLS (Malvern) تعیین شد. تصویر شماره ۳ اندازه نانوذرات کیتوزان در pH = ۶ تعیین شد. درصد نمونه‌های مورد آزمایش در محدوده ۹۵-۲۰ نانومتر و پیک بزرگتر قرار دارند و حدود ۵ درصد در ۲۱۰ نانومتر و پیک بزرگتر قرار دارند و حدود ۵ درصد در محدوده ۲۰-۷۰ نانومتر و به طور میانگین ۴۵ نانومتر بودند.

بار الکتریکی

بار الکتریکی، پراکندگی و یکنواختی نانوذرات کیتوزان توسط دستگاه Zetasizer (Malvern) تعیین شد. تصویر

سلول‌های E.coli لیز شد و سپس پروتئین محلول آن‌ها بررسی گردید. پروتئین محلول سلول بر روی ژل اکریل آمید و در حضور دترژنت SDS از یکدیگر تفکیک شد و پس از رنگ‌آمیزی با کوماسی G-۲۵۰ کلوئیدی، مورد بررسی قرار گرفت. از آنجایی که بخشی از پروتئین NAP-A تولید شده بود، پروتئینی با وزن مولکولی ۲۰ کیلو Dalton به دست آمد (تصویر شماره ۱).

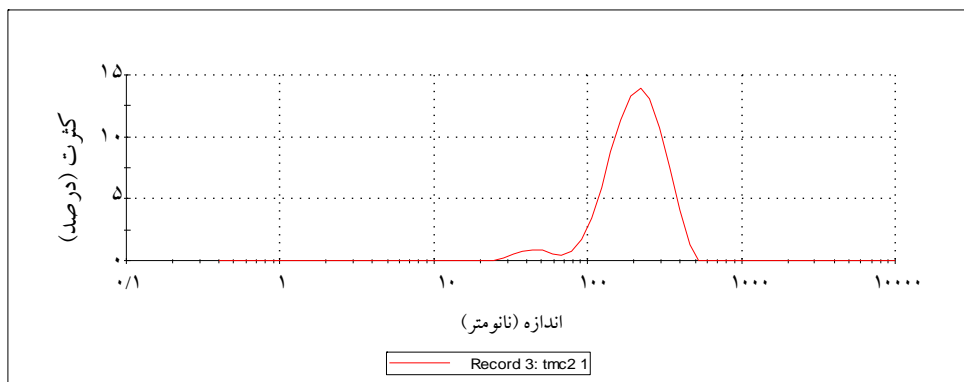


تصویر شماره ۱: ارزیابی بیان پروتئین
SDS-page (Neutrophil activating protein)

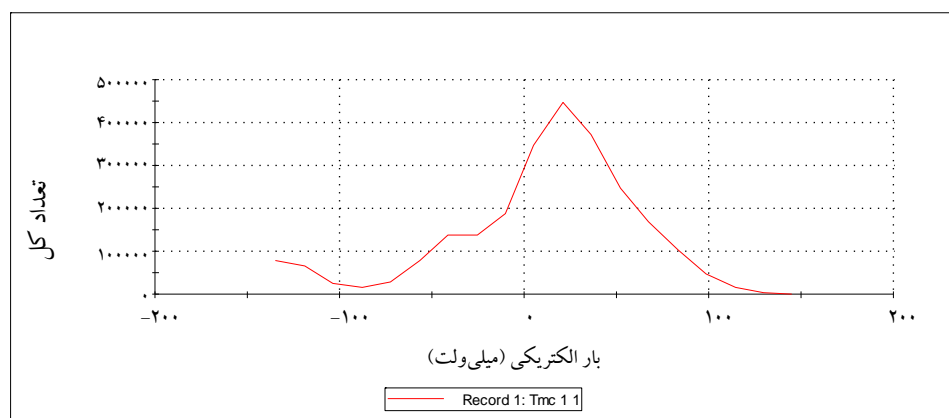
(Sodium dodecyl sulfate polyacrylamide gel electrophoresis)
چاهک ۱: مارکر با وزن پایین، چاهک ۲: NAP-A (اقاشده، چاهک ۳: NAP-A (اقاشده
با IPTG (Isopropyl-Beta-Thio Galactopyranoside) ۰/۱ میلی مولار

بیان و تخلیص پروتئین نوترکیب HP-NAP

نتایج SDS-page، بیان یک پروتئین در محدوده باند ۲۰ کیلو Dalton راهنمای وزنی را نشان داد که با وزن مولکولی حدود ۲۰۴۷۷ دالتون پیش‌بینی شده همخوانی دارد (تصویر شماره ۱). بیان این پروتئین از ساعت سوم آغاز شد و در ساعت پنجم به بیشترین مقدار خود رسید. بین ساعت پنجم، هفتم و القای شبانه تفاوت قابل ملاحظه‌ای وجود نداشت. بررسی‌های انجام شده مشخص گردید که بیشترین مقدار پروتئین نوترکیب به صورت ذرات جامد غیر محلول (اینکلوزن) در فاز رسوبی قرار دارد. رسوبی بودن این پروتئین با نتایج به دست آمده از تخلیص فاز مایع حاصل از لیزات سلول با روش Native و استفاده از بافرهای فاقد اوره نیز تأیید



تصویر شماره ۳: اندازه نانوذرات کیتوزان با دستگاه (Dynamic light scattering) DLS بر اساس نانومتر



تصویر شماره ۴: بار الکتریکی نانوذرات کیتوزان با دستگاه Zetasizer بر اساس میلی ولت

شکل ظاهری نانوذرات شد. پرتوهای ساطع شده از این بر هم کنش جهت بررسی ها مورد استفاده قرار گرفت. تصویر شماره ۶ تصویر نانوذرات تری‌متیل کیتوزان حامل پروتئین با میکروسکوپ SEM را نشان می‌دهد.

شماره ۴ بار الکتریکی نانوذرات کیتوزان در $pH = 6$ را نشان می‌دهد که بار الکتریکی نانوذرات کیتوزان به طور میانگین با سه تکرار $+11$ میلی ولت تعیین شد. داده‌های دستگاه DLS نشان داد که نمودار تک پیک می‌باشد و همسانی وجود دارد.

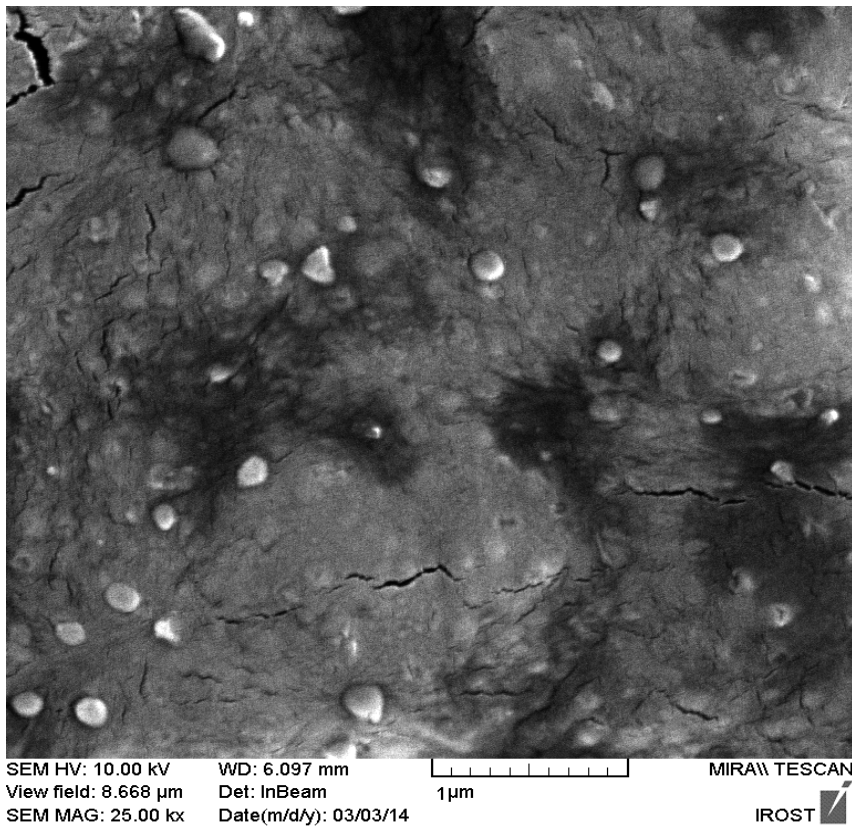


تصویر شماره ۵: نانوذرات کیتوزان با میکروسکوپ (Transmission electron microscope) TEM

میکروسکوپ الکترونی TEM

شکل، اندازه، پراکندگی و یکنواختی نانوذرات کیتوزان توسط میکروسکوپ الکترونی و دستگاه Zetasizer تعیین شد. تصویر شماره ۵ تصویر TEM مربوط به این نانوذرات در $pH = 4$ را نشان می‌دهد. اندازه بیشتر ذرات در محدوده ۱۵۰-۲۰۰ نانومتر به دست آمد. نتایج به دست آمده از میکروسکوپ الکترونی TEM نتایج حاصل از دستگاه DLS را تأیید می‌کند.

میکروسکوپ الکترونی SEM
بر هم کنش پرتولیکترونی با ماده سبب نمایان شدن



(Scanning electron microscope) SEM تصویر شماره ۶: نانوذرات تری متیل کیتوزان حامل پروتئین با میکروسکوپ

تفکیک پذیری ۱۶۵۶ بر سانتی متر به کشش گروههای NH اختصاص داده می شود و محدوده تفکیک پذیری ۱۴۲۴ بر سانتی متر به CO کشش اولیه گروه الکلی در کیتوزان تعلق دارد. طیف FTIR منحنی b مربوط به پروتئین را نشان می دهد. طیف FTIR منحنی a مربوط به کیتوزان حامل پروتئین را نشان می دهد که باند پهن در محدوده تفکیک پذیری ۳۴۳۱ بر سانتی متر مربوط به ارتعاشات کششی از گروههای OH و NH ظاهر می شود. در محدوده تفکیک پذیری ۱۶۳۸ بر سانتی متر به کشش گروههای NH اختصاص داده می شود.

بحث

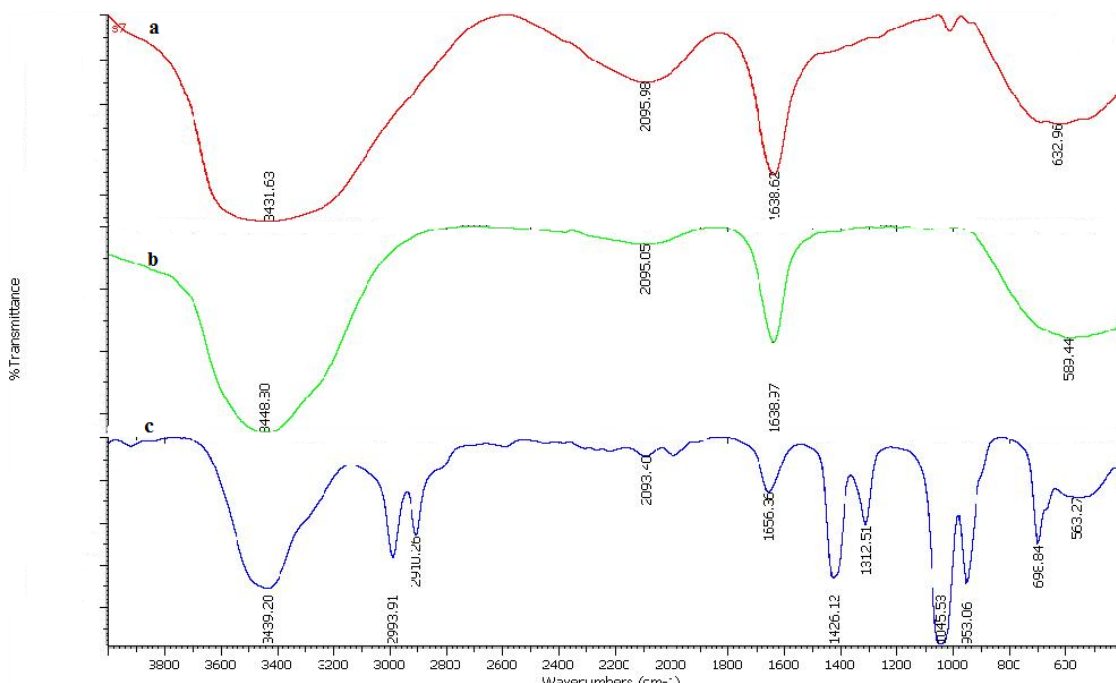
کیتوزان به دلیل ویژگی های فیزیکوشیمیایی و بیولوژیکی بی نظیرش، انگیزه های بسیاری را برای توسعه سالم و مؤثر سیستم دارورسانی برانگیخته است. حقیقی و همکاران از روش بیوانفورماتیک برای بهینه سازی کلون ژن موردنظر در اشريشياکلي استفاده نمودند. نتایج آنها نشان داد که ژن کلون

طیف سنجی (FTIR)

از دستگاه FTIR جهت شناسایی گروههای عاملی اتصال یافته پروتئین نوترکیب به کیتوزان استفاده شد که این اتصال شناسایی گردید. منحنی طیف FTIR در تصویر شماره ۷ نمایش داده شده است.

طیف FTIR در حالت عبور با استفاده از دستگاه اسپکتروفوتومتر (ساخت انگلستان Bruker) در گستره $400-4000\text{ cm}^{-1}$ و در تفکیک پذیری ۴ سانتی متری تعیین گردید. نتایج طیف سنجی نشان داد که طیف اتصالی پروتئین نوترکیب به تنهایی و کیتوزان به تنهایی نسبت به زمانی که پروتئین نوترکیب به کیتوزان اتصال می یابد، متفاوت است.

طیف FTIR منحنی c مربوط به کیتوزان را نشان می دهد که باند پهن در محدوده تفکیک پذیری ۳۴۳۹ بر سانتی متر مربوط به ارتعاشات کششی از گروههای OH و NH ظاهر می شود. در محدوده تفکیک پذیری ۲۹۹۳ بر سانتی متر ارتعاشات کشش گروههای CH می باشد. محدوده



(Fourier transform infrared spectroscopy) FTIR تصویر شماره ۲: منحنی طیف

بار مثبت مولکول‌های تری‌متیل کیتوزان قادر به اتصال با بار منفی موجود در پروتئین نوترکیب می‌باشد که این قسمت با مولکول کیتوزان مزدوج می‌شود و ترکیب دوگانه دوست ایجاد شده ممکن است منجر به تشکیل نانوذرات شود و قادر به کپسوله کردن دارو و تحويل آن به ناجیه هدف باشد.

اتصال شیمیایی پروتئین‌های نوترکیب به کیتوزان از طریق گروه‌های عاملی می‌تواند کمپلکس سودمندی تولید کند. نتایج حاصل از دستگاه FTIR تأیید کننده اتصال ذرات کیتوزان با پروتئین به واسطه گروه‌های عاملی آمینی و هیدروکسیلی آن می‌باشد. اندازه نانوذرات با دو دستگاه DLS و میکروسکوپ می‌باشد. اندازه نانوذرات با تأیید شد و نتایج مؤید آن بود که قطر ذرات الکترونی بررسی و تأیید شد و نتایج مؤید آن بود 200 ± 20 نانومتر بود.

کیتوزان در طول زمان در سیستم‌های بیولوژیک تخریب می‌شود. میزان تخریب پذیری کیتوزان با کنترل مقدار استیل زدایی آن قابل کنترل است. این ویژگی باعث می‌شود داروها به طور کنترل شده در بدن آزاد شوند و بنابراین اثرگذاری آن را افزایش می‌دهد. گروه‌های آزاد آمین که به کیتوزان بار مثبت می‌دهد برای انتقال دارو ضروری است. این بارهای مثبت باعث برهم کنش با بارهای منفی داروها، پلیمرها و

با پرایمرهای مهندسی شده و در نهایت پروتئین تولید شده حدود ۲۰ کیلو Dalton بود (۲۲). در این تحقیق پروتئین فعال کننده نوترکیلی نوترکیب از هلیکوباکتر پیلوری ساخته شد. نتایج SDS-page آن بیان این پروتئین را تأیید کرد. نتایج Western blot حضور پروتئین نوترکیب را به لحاظ واکنش با آنتی‌بادی اختصاصی اثبات کرد. این نتایج نشان می‌دهد که پروتئین نوترکیب باکتریایی به درستی تولید شده است و اندازه آن حدود ۲۰۴۷۷ Dalton می‌باشد. Vila و همکاران از نانوذرات کیتوزان به عنوان حامل پروتئین برای واکسن کزار استفاده نمودند (۲۳).

استفاده از پلیمرهای مانند کیتوزان برای انتقال داروها به محل‌های مناسب در سیستم‌های بیولوژیک مورد توجه زیادی است. با توجه به کاربردهای کیتوزان، Zhang و همکاران از نانوذرات کیتوزان به عنوان حامل دارو استفاده کردند (۲۴). در این تحقیق از نانوذرات تری‌متیل کیتوزان به عنوان حامل پروتئین استفاده گردید. تری‌متیله شدن کیتوزان سبب انحلال بیشتر کیتوزان می‌شود. نانوذرات کیتوزان به لحاظ داشتن گروه‌های هیدروکسیل و آمین نوع اول واقع شده بر بدن، اجازه اصلاح شیمیایی برای کنترل خواص فیزیکی را می‌دهد.

صورت می‌گیرد. این سلول‌ها، مولکول‌های MHC-I و MHC-II، (Major histocompatibility complex) مولکول‌های کمک محرك را به میزان زیادی بیان می‌کنند و مسیر پاسخ ایمنی به سمت Th1 به وسیله سیتوکین‌های تولید شده توسط آن‌ها تعیین می‌گردد. در حقیقت HP-NAP به عنوان ابزار جدیدی برای جهت دادن سیستم ایمنی به خصوص سلول‌های دندربیتیک به سمت پاسخ Th1 شناخته شده است و سلول‌های مذکور را به خوبی تحریک می‌کند. با توجه به خواص موجود، این کمپلکس می‌تواند ابزار مناسب و مؤثری جهت کاربردهای ایمنی درمانی برای درمان سرطان در آینده باشد (۲۶، ۲۷). مطالعه حاضر گشایشی برای ایده مذکور جهت درمان سرطان با استفاده از خاصیت ایمنومدولاتوری می‌باشد.

سپاسگزاری

تحقیق حاضر بخشی از رساله دکتری رشته باکتری‌شناسی پزشکی مصوب دانشکده علوم پزشکی دانشگاه تربیت مدرس است که با حمایت مالی آن دانشگاه انجام شده است.

References

- Hashemzadeh S, Aligholipour Maleki R, Golzari S. The incidence of breast cancer in Northwest Iran (2003 -2008). *J Cardiovasc Thorac Res* 2012; 4(1): 5-9.
- Duffy MJ. CA 15-3 and related mucins as circulating markers in breast cancer. *Ann Clin Biochem* 1999; 36(Pt 5): 579-86.
- Man YG, Stojadinovic A, Mason J, Avital I, Bilchik A, Bruecher B, et al. Tumor-infiltrating immune cells promoting tumor invasion and metastasis: existing theories. *J Cancer* 2013; 4(1): 84-95.
- Kahlenborn C, Modugno F, Potter DM, Severs WB. Oral contraceptive use as a risk factor for premenopausal breast cancer: a meta-analysis. *Mayo Clin Proc* 2006; 81(10): 1290-302.
- Nelson HD, Zakher B, Cantor A, Fu R, Griffin J, O'Meara ES, et al. Risk factors for breast cancer for women aged 40 to 49 years: a systematic review and meta-analysis. *Ann Intern Med* 2012; 156(9): 635-48.
- Russo J, Rivera R, Russo IH. Influence of age and parity on the development of the human breast. *Breast Cancer Res Treat* 1992; 23(3): 211-8.
- Townsend CM. Treatment of breast cancer. *Clin Symp* 1997; 49(1): 1-32.
- Ueda T, Volinia S, Okumura H, Shimizu M, Taccioli C, Rossi S, et al. Relation between microRNA expression and progression and prognosis of gastric cancer: a microRNA expression analysis. *Lancet Oncol* 2010; 11(2): 136-46.
- Stockler M, Wilcken NR, Ghersi D, Simes RJ. Systematic reviews of chemotherapy and endocrine therapy in metastatic breast cancer. *Cancer Treat Rev* 2000; 26(3): 151-68.
- Carlsohn E, Nyström J, Svennerholm A, Bölin I. HpaA Is Essential for Helicobacter pylori Colonization in Mice. *Infect Immun* 2006; 74(2): 920-6.
- Nystrom J, Svennerholm AM. Oral immunization with HpaA affords therapeutic protective immunity against *H. pylori* that is reflected by specific mucosal immune responses. *Vaccine* 2007; 25(14): 2591-8.
- Tan ML, Choong PF, Dass CR. Review: doxorubicin delivery systems based on chitosan for cancer therapy. *J Pharm Pharmacol* 2009; 61(2): 131-42.
- Saremi S, Atyabi F, Akhlaghi SP, Ostad SN,

مولکول‌های زیست فعال می‌شود. با تری متیله شدن، این پتانسیل افزایش می‌یابد. نانوذرات کیتوزان به دلیل ویژگی‌های منحصر به فرد آن برای انتقال انواع مختلفی از داروها مانند داروهای ضد هورمونی، انسولین و داروهای ضد سرطان مطرح خواهد بود. حسین‌زاده و همکاران از این نانوذرات به عنوان یک سیستم دارورسانی برای درمان سرطان استفاده کردند (۱۴).

با توجه به مطالعات موجود، تاکنون هیچ پژوهشی در مورد ساخت و تولید نانوذرات کیتوزان حامل پروتئین نوترکیب HP-NAP جهت درمان متن سرطان صورت نگرفته است و این پژوهش برای اولین بار در دنیا انجام شد. با توجه به منابع موجود، HP-NAP به عنوان آگونیست TLR2، دارای خاصیت ایمونومدولاتوری می‌باشد و توانایی القای بیان IL12 و IL23 از مونوکوتی‌ها و نوترکوپلیک‌های انسانی را دارد (۲۵). این پروتئین با داشتن پتانسیل تغییر پاسخ‌های سیستم ایمنی، سبب تغییر فنوتیپ از Th2 به Th1 به واسطه تولید اینترفرون گاما و فاکتور نکروز دهنده توموری آلفا می‌شود. آغاز بروز واکنش ایمنی علیه سرطان به طور غالب توسط سلول‌های دندربیتیک

- Dinarvand R. Thiolated chitosan nanoparticles for enhancing oral absorption of docetaxel: preparation, in vitro and ex vivo evaluation. *Int J Nanomedicine* 2011; 6: 119-28.
14. Hosseinzadeh H, Atyabi F, Dinarvand R, Ostad SN. Chitosan-Pluronic nanoparticles as oral delivery of anticancer gemcitabine: preparation and in vitro study. *Int J Nanomedicine* 2012; 7: 1851-63.
 15. Cooksley C, Jenks PJ, Green A, Cockayne A, Logan RP, Hardie KR. NapA protects *Helicobacter pylori* from oxidative stress damage, and its production is influenced by the ferric uptake regulator. *J Med Microbiol* 2003; 52(Pt 6): 461-9.
 16. Iankov ID, Penheiter AR, Carlson SK, Galanis E. Development of monoclonal antibody-based immunoassays for detection of *Helicobacter pylori* neutrophil-activating protein. *J Immunol Methods* 2012; 384(1-2): 1-9.
 17. Amani J, Salmanian AH, Rafati S, Mousavi SL. Immunogenic properties of chimeric protein from espA, eae and tir genes of *Escherichia coli* O157:H7. *Vaccine* 2010; 28(42): 6923-9.
 18. Yousefpour P, Atyabi F, Dinarvand R, Vasheghani-Farahani E. Preparation and comparison of chitosan nanoparticles with different degrees of glutathione thiolation. *Daru* 2011; 19(5): 367-75.
 19. Sieval AB, Thanou M, Kotze AF, Verhoef JC, Brussee J, Junginger HE. Preparation and NMR characterization of highly substitutedN-trimethyl chitosan chloride. *Carbohydrate Polymers* 1998; 36(2-3): 157-65.
 20. Grinberg O, Gedanken A, Patra CR, Patra S, Mukherjee P, Mukhopadhyay D. Sonochemically prepared BSA microspheres containing Gemcitabine, and their potential application in renal cancer therapeutics. *Acta Biomater* 2009; 5(8): 3031-7.
 21. Takeuchi H, Yamamoto H, Kawashima Y. Mucoadhesive nanoparticulate systems for peptide drug delivery. *Adv Drug Deliv Rev* 2001; 47(1): 39-54.
 22. Haghghi MA, Mohabati Mobarez A, Salmanian AH, Zali MR, Moazzeni SM, Karkhane AA. Application of Bioinformatics and Genetic Engineering for Designing Optimized Cloning and Overexpression of Neutrophil Activating Protein of *Helicobacter pylori* in *Escherichia coli*. *J Zanjan Univ Med Sci* 2013; 21(85): 40-54. (Persian).
 23. Vila A, Sanchez A, Janes K, Behrens I, Kissel T, Vila Jato JL, et al. Low molecular weight chitosan nanoparticles as new carriers for nasal vaccine delivery in mice. *Eur J Pharm Biopharm* 2004; 57(1): 123-31.
 24. Zhang H, Wu S, Tao Y, Zang L, Su Z. Preparation and Characterization of Water-Soluble Chitosan Nanoparticles as Protein Delivery System. *Journal of Nanomaterials* 2009; 2010(1): 5.
 25. Nishioka H, Baesso I, Semenzato G, Trentin L, Rappuoli R, Del GG, et al. The neutrophil-activating protein of *Helicobacter pylori* (HP-NAP) activates the MAPK pathway in human neutrophils. *Eur J Immunol* 2003; 33(4): 840-9.
 26. Satin B, Del GG, Della B, V, Dusi S, Laudanna C, Tonello F, et al. The neutrophil-activating protein (HP-NAP) of *Helicobacter pylori* is a protective antigen and a major virulence factor. *J Exp Med* 2000; 191(9): 1467-76.
 27. Wang G, Hong Y, Olczak A, Maier SE, Maier RJ. Dual Roles of *Helicobacter pylori* NapA in inducing and combating oxidative stress. *Infect Immun* 2006; 74(12): 6839-46.